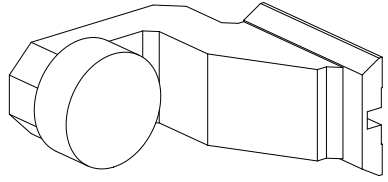


10760618

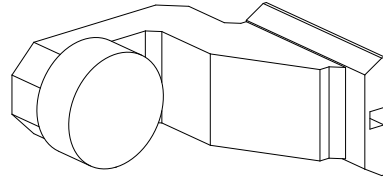
INDEX



Prisma-Aufnahme (ABC)

10760618

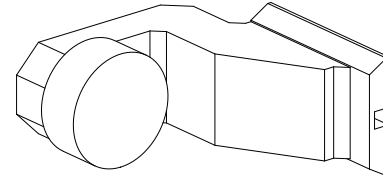
INDEX



Prisma-Aufnahme (ABC)

10760618

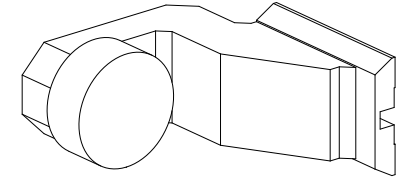
INDEX



Prisma-Aufnahme (ABC)

10760618

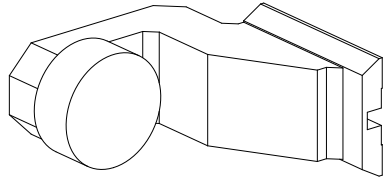
INDEX



Prisma-Aufnahme (ABC)

10760618

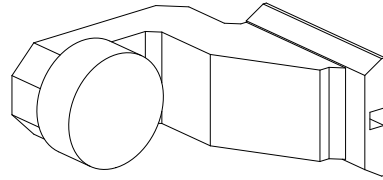
INDEX



Prisma-Aufnahme (ABC)

10760618

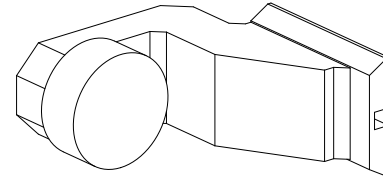
INDEX



Prisma-Aufnahme (ABC)

10760618

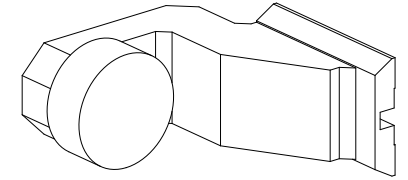
INDEX



Prisma-Aufnahme (ABC)

10760618

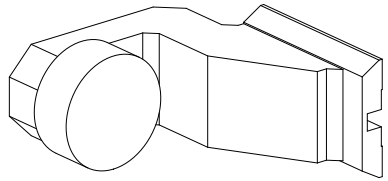
INDEX



Prisma-Aufnahme (ABC)

10760618

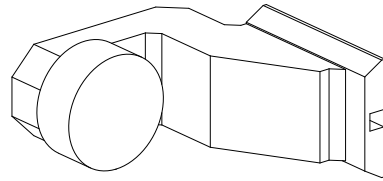
INDEX



Prisma-Aufnahme (ABC)

10760618

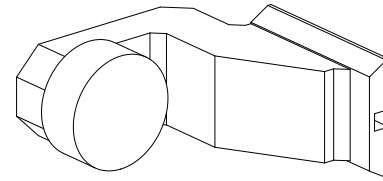
INDEX



Prisma-Aufnahme (ABC)

10760618

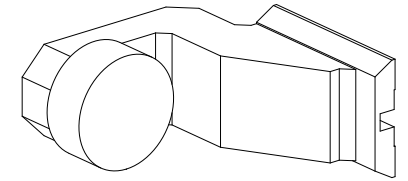
INDEX



Prisma-Aufnahme (ABC)

10760618

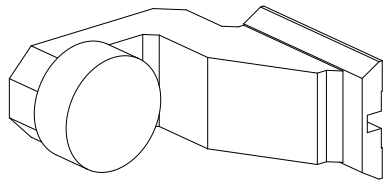
INDEX



Prisma-Aufnahme (ABC)

10760618

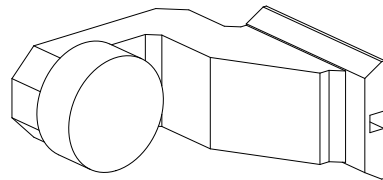
INDEX



Prisma-Aufnahme (ABC)

10760618

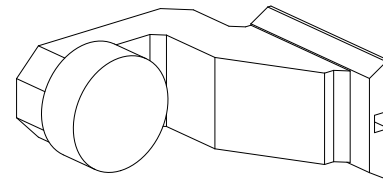
INDEX



Prisma-Aufnahme (ABC)

10760618

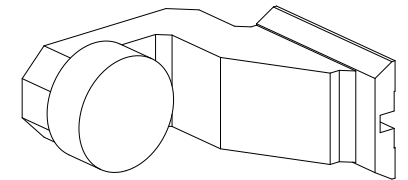
INDEX



Prisma-Aufnahme (ABC)

10760618

INDEX



Prisma-Aufnahme (ABC)